



Semestre 1	TD d'électronique	2020-2021
	10 Fonctions logiques à diode	<b>→</b>

#### Objectifs:

- Reconnaitre une fonction électronique
- Être capable de savoir si une diode est passante ou bloquée.
- Connaitre la tension de sortie en fonction de l'état des diodes.

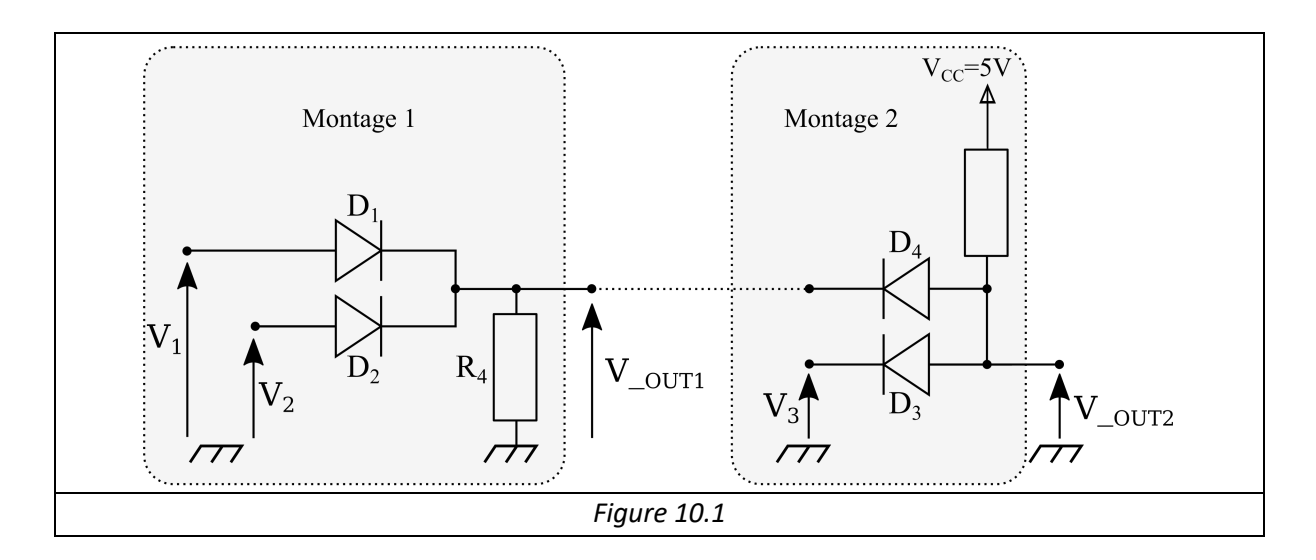
#### Méthode à maitriser :

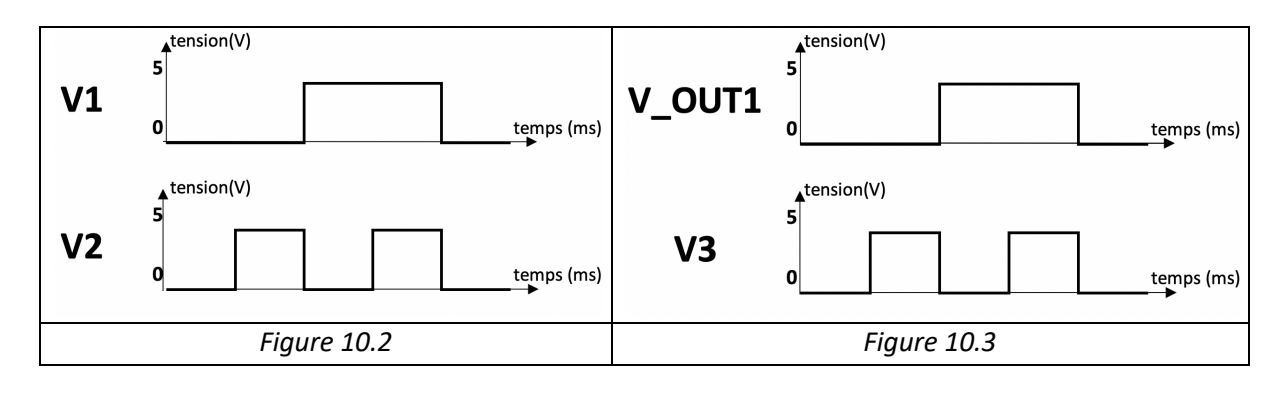
Identification de l'état des diodes :

- Dessiner le schéma en déconnectant les diodes
- Calculer la tension V<sub>A</sub> et V<sub>K</sub> de chaque diode
- Si la diode respecte la condition de conduction, alors la remplacer par son modèle équivalent à l'état passant, sinon la remplacer par son modèle à l'état bloqué.

# Hypothèses et données :

On considère le montage de la Figure 10.1 ci-dessous réalisant une fonction logique à partir de deux montages simples. L'évolution des tensions d'entrées est donnée par les chronogrammes en Figure 10.2 et Figure 10.3. Les diodes sont considérées idéales dans un premier temps.





#### Questions préliminaires

- Quelle est la fonction logique réalisée par le montage 1
- Quelle est la fonction logique réalisée par le montage 2
- En déduire la fonction globale du montage de la Figure 10.1

# Analyse du montage 1

# Cas V1 = 0 Volts et V2 = 0 Volts

- Appliquer la méthode à maitriser et en déduire la tension V\_OUT1
- Remplir le tableau de synthèse en bas de page

#### Cas V1 = 0 Volts et V2 = 5 Volts

- Appliquer la méthode à maitriser et en déduire la tension V\_OUT1
- Remplir le tableau de synthèse en bas de page

#### Cas V1 = 5 Volts et V2 = 0 Volts

- Appliquer la méthode à maitriser et en déduire la tension V\_OUT1
- Remplir le tableau de synthèse en bas de page

#### Cas V1 = 5 Volts et V2 = 5 Volts

- Appliquer la méthode à maitriser et en déduire la tension V OUT1
- Remplir le tableau de synthèse en bas de page

# Analyse du montage 2

#### Cas V\_OUT1 = 0 Volts et V3 = 0 Volts

- Appliquer la méthode à maitriser et en déduire la tension V\_OUT2
- Remplir le tableau de synthèse en bas de page

- Appliquer la méthode à maitriser et en déduire la tension V\_OUT2
- Remplir le tableau de synthèse en bas de page

- Appliquer la méthode à maitriser et en déduire la tension V\_OUT2
- Remplir le tableau de synthèse en bas de page

- Appliquer la méthode à maitriser et en déduire la tension V\_OUT2
- Remplir le tableau de synthèse en bas de page

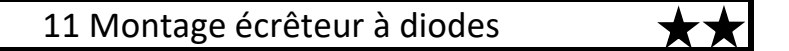
V1	V2	V_OUT1
0	0	
0	5V	
5V	0	
5V	5V	

V_OUT1	V3	V_OUT2
0	0	
0	5V	
5V	0	
5V	5V	

Confirmez-vous les réponses des questions préliminaires ?







#### Objectifs:

- Être capable de savoir si une diode est passante ou bloquée.
- Connaitre la tension de sortie en fonction de l'état des diodes.
- Exprimer une droite de charge et trouver un point de fonctionnement.

#### Méthode à maitriser :

Identification de l'état des diodes :

- Dessiner le schéma en déconnectant les diodes.
- Calculer la tension V<sub>A</sub> et V<sub>K</sub> de chaque diode.
- Si la diode respecte la condition de conduction, alors la remplacer par son modèle équivalent à l'état passant, sinon la remplacer par son modèle à l'état bloqué.

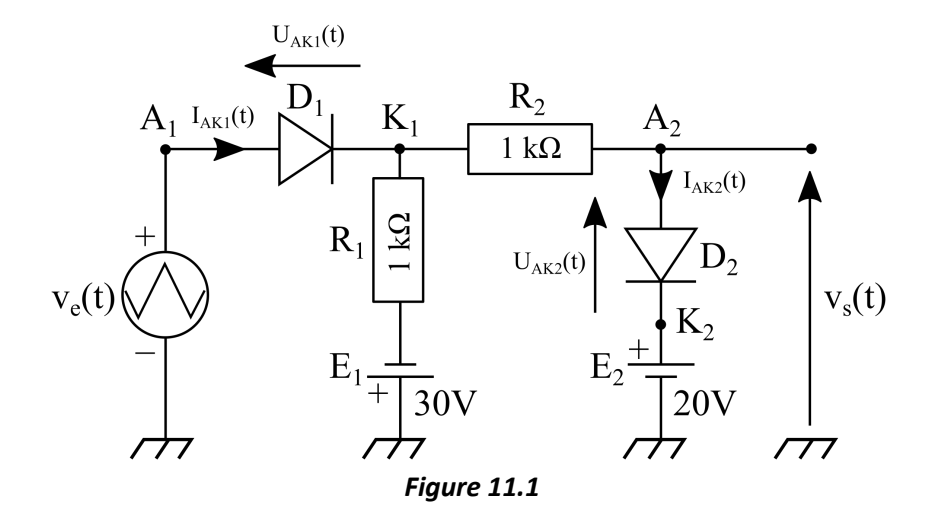
Expression de la droite de charge d'une diode :

- Exprimer la tension V<sub>AK</sub> en fonction des autres tensions du montage.
- Remplacer la tension aux bornes d'une résistance par son produit courant-résistance,
- Faire apparaitre I<sub>A</sub> (le courant traversant la diode) dans l'équation.
- Dessiner la droite dans un repère V<sub>AK</sub>-I<sub>A</sub> en prenant 2 valeurs arbitraires

# Hypothèses et données :

Nous considérons le montage donné en figure 11.1 qui utilise deux diodes Schottky dont la tension de seuil est de 0,3 Volts. Le modèle de la diode est donc résumé ainsi :

- Un circuit ouvert pour l'état bloqué.
- Un générateur de tension de valeur  $V_D = 0.3$  Volts pour l'état passant.



Nous désirons déterminer le graphe de la tension de sortie  $v_s$  (t) du montage lorsque celui-ci est excité par un générateur délivrant une tension  $v_e$  (t) triangulaire périodique ayant :

- Une fréquence **f** de **1 kHz**
- Une valeur moyenne nulle
- Une amplitude **100V** crête à crête et telle que  $v_e$  (t = 0) =- **50V**.

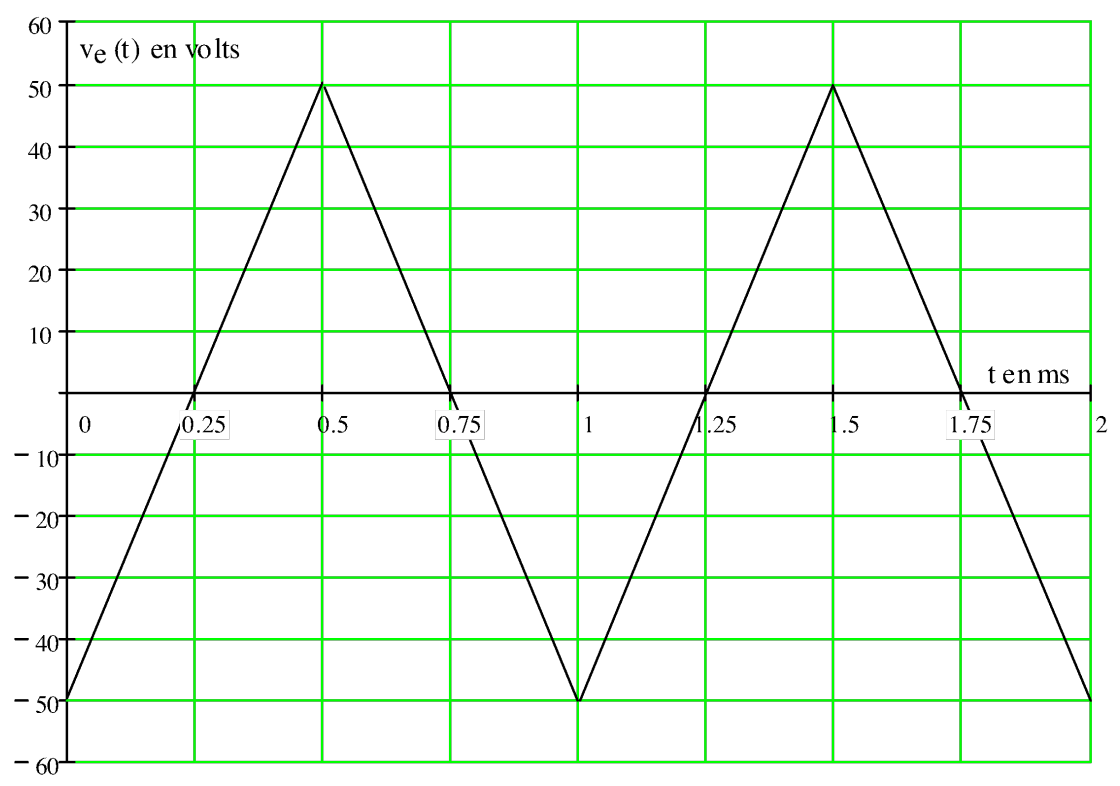


Figure 11.2

#### **Questions préliminaires**

- Représenter la caractéristique de la diode dans un repère V<sub>AK</sub>-I<sub>A</sub>.
- Dessiner le modèle équivalent de la diode à l'état passant en plaçant le nom des électrodes.
- La diode est-elle un générateur de tension indépendant ?

#### Analyse à t = 0 seconde

- A l'instant t = 0, où  $v_e(0) = -50 V$ , on désire connaître l'état des diodes. Montrer alors que les diodes sont bloquées la méthode d'identification de l'état des diodes.
- Donner la valeur de la tension de sortie  $v_s(0)$  à l'instant t = 0.
- Reporter la tension **v**<sub>s</sub> sur la Figure 11.2.

# Analyse de la séquence 1 où D1 et D2 sont bloquées

Dans cette séquence, le schéma d'analyse est obtenu en remplaçant D2 bloquée par un circuit ouvert. Cependant, on dessine D1 sous sa forme symbolique afin de déterminer sa droite de charge et définir la tension  $v_{e1}$  ( $t_1$ ) qui rend D1 juste conductrice.

- Écrire l'équation de la droite de charge de la diode **D1**.
- Tracer sur la Figure 11.2, la droite de charge à l'instant **t** = **0**. Vérifier que le point de fonctionnement correspond à **D1** bloquée.
- Comment se déplace la droite de charge lorsque que  $v_e(t)$  augmente à partir de t = 0?
- En déduire la valeur de la tension d'entrée  $v_{e1}$  ( $t_1$ ) qui rend **D1** juste conductrice.
- Calculer l'expression de la tension  $v_s$  (t) dans cette 1° séquence et dessiner son graphe sur la Figure 11.2.

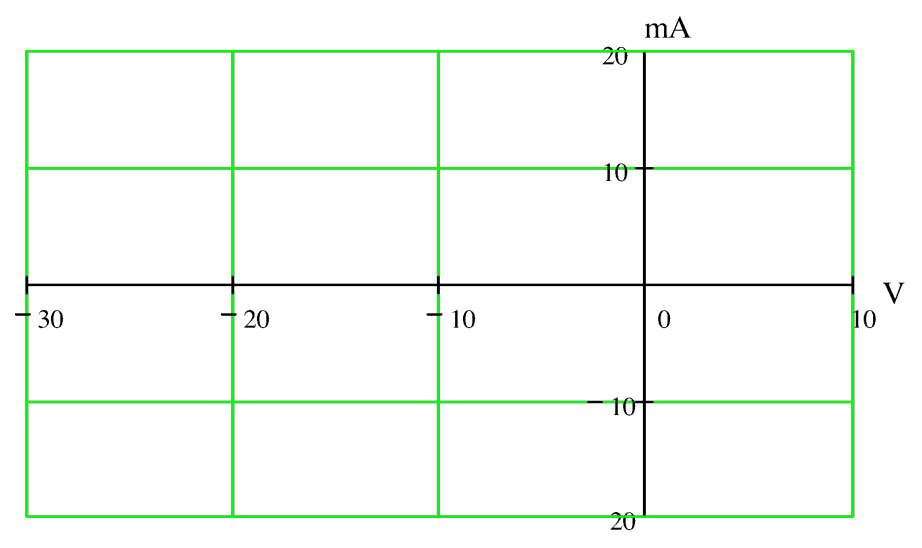


Figure 11.3

#### Analyse de la séquence 2 où D1 est passante et D2 est bloquée

La tension  $v_e(t) > v_{e1}$  est telle que **D1** est passante alors que **D2** est encore bloquée. La diode **D1** est donc simulée par son modèle équivalent alors que **D2** est représentée sous sa forme symbolique.

- Dessiner le nouveau schéma équivalent au montage. Rechercher l'expression de la tension de sortie  $v_s(t)$  en fonction de  $v_e(t)$  dans cette séquence.
- Déterminer la valeur de la tension  $v_{e2}$  ( $t_2$ ) qui rend la diode **D2** juste passante et qui indique la fin de la deuxième séquence.
- Dessiner le graphe de la tension v<sub>s</sub> (t) dans cette séquence sur la figure 11.2.

### Analyse de la séquence 3 où D1 et D2 sont passantes

Dans cette dernière séquence, la tension  $v_e(t) > v_{e2}$  est telle que  $D_1$  et  $D_2$  sont passantes.

- Dessiner le nouveau schéma équivalent au montage. Quelle est l'expression de la tension ν<sub>s</sub> (t) ?
- Compte tenu de l'analyse précédente, représenter l'évolution de la tension de sortie  $v_s$  (t) sur deux périodes du signal  $v_e$  (t).
- Dessiner le graphe de la tension **v**<sub>s</sub> (t) dans cette séquence sur la figure 11.2.





12 Polarisation et modulation de LED

#### Objectifs:

- Tracer la droite de charge et identifier le point de repos d'une diode en régime continu
- Extraire la résistance dynamique équivalente autour du point de repos
- Identifier le type de montage utilisé à base d'AOP et extraire l'expression de la tension de sortie

#### Méthode à maitriser :

Droite de charge : Extraire l'expression du courant dans la diode en fonction de sa tension à ses bornes et des éléments du circuit.

Méthode par superposition.

Détermination de **V**<sup>+</sup>, **V**<sup>-</sup> et **V**₅ sur un amplificateur opérationnel.

#### Hypothèses et données :

Dans le cadre de la mise en place d'une ligne de transmission optique à faible coût entre deux bâtiments, nous souhaitons moduler une LED infrarouge couplée à une fibre optique.

Nous considérons dans un premier temps le montage de la Figure 12.1 ci-dessous permettant de polariser ladite LED sous une tension continue ajustable centrée sur  $\mathbf{E} = \mathbf{2,5} \ \mathbf{V}$  et un courant de polarisation central de  $\mathbf{60} \ \mathbf{mA}$ , modulé à  $\pm \mathbf{20} \ \mathbf{mA}$ .

Dans un second temps, nous considérons le circuit de modulation présenté en Figure 12.3, le signal  $V_{\mu c}$  provient d'une sortie numérique d'un micro-controleur de telle sorte à inhiber ou autoriser la modulation par un 0 ou 1 logique. Le signal  $V_{modul}$  est un signal **analogique symétrique** d'amplitude **0,5** V contenant l'information à transmettre par voie optique. La sortie de l'AOP pilote la LED Infrarouge.

# **Questions préliminaires**

- A partir de la datasheet fournie en annexe, extraire les données suivantes :
  - o le courant maximum en DC et en pulsé
  - o la tension à 60mA
  - o la longueur d'onde
  - o la puissance en μW après 1 mètre de fibre de 62,5μm de diamètre de cœur.
- Que peut-on dire de la puissance optique émise en fonction du courant dans la LED (cf Figure 10 de la datasheet ?

#### Analyse du montage en régime DC

- Écrire l'équation de la droite de charge de la LED :  $I_{AK} = f(U_{AK})$
- Calculer la résistance  $R_{prot}$  pour une polarisation centrale, donner la valeur normalisée dans la série E24 et calculer l'erreur relative.
- Donner les coordonnées des deux positions extrêmes de fonctionnement en modulation
- Quelle est la variation de tension **△ E** qu'il est nécessaire d'appliquer au générateur **E** pour une telle modulation ?
- Tracer les droites de charges correspondantes aux 2 positions extrêmes dans la caractéristique *I(V)* de la Figure 12.2.
- Que peut-on dire de la caractéristique dans cette zone de fonctionnement ?

- Relever graphiquement la résistance dynamique de la diode dans cette zone sachant que :

$$Rd = \frac{dU_{AK}}{dI_{AK}}$$

- Quelle est la tension de seuil de la LED si on considère qu'elle reste linéaire jusqu'à  $I_{AK} = 0$ ?
- Quel est finalement le modèle équivalent de la LED ?
- Redessiner le schéma électrique du montage et calculer les tensions  $U_{AK}$  qui correspondent aux deux positions extrêmes de fonctionnement, comparer avec valeurs précédemment lues sur le graphique. Le modèle est-il fidèle à la réalité ?

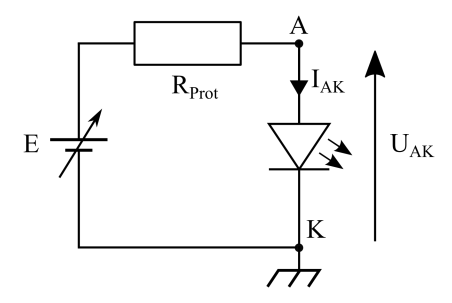


Figure 12.1 : Schéma de polarisation de la LED Infrarouge

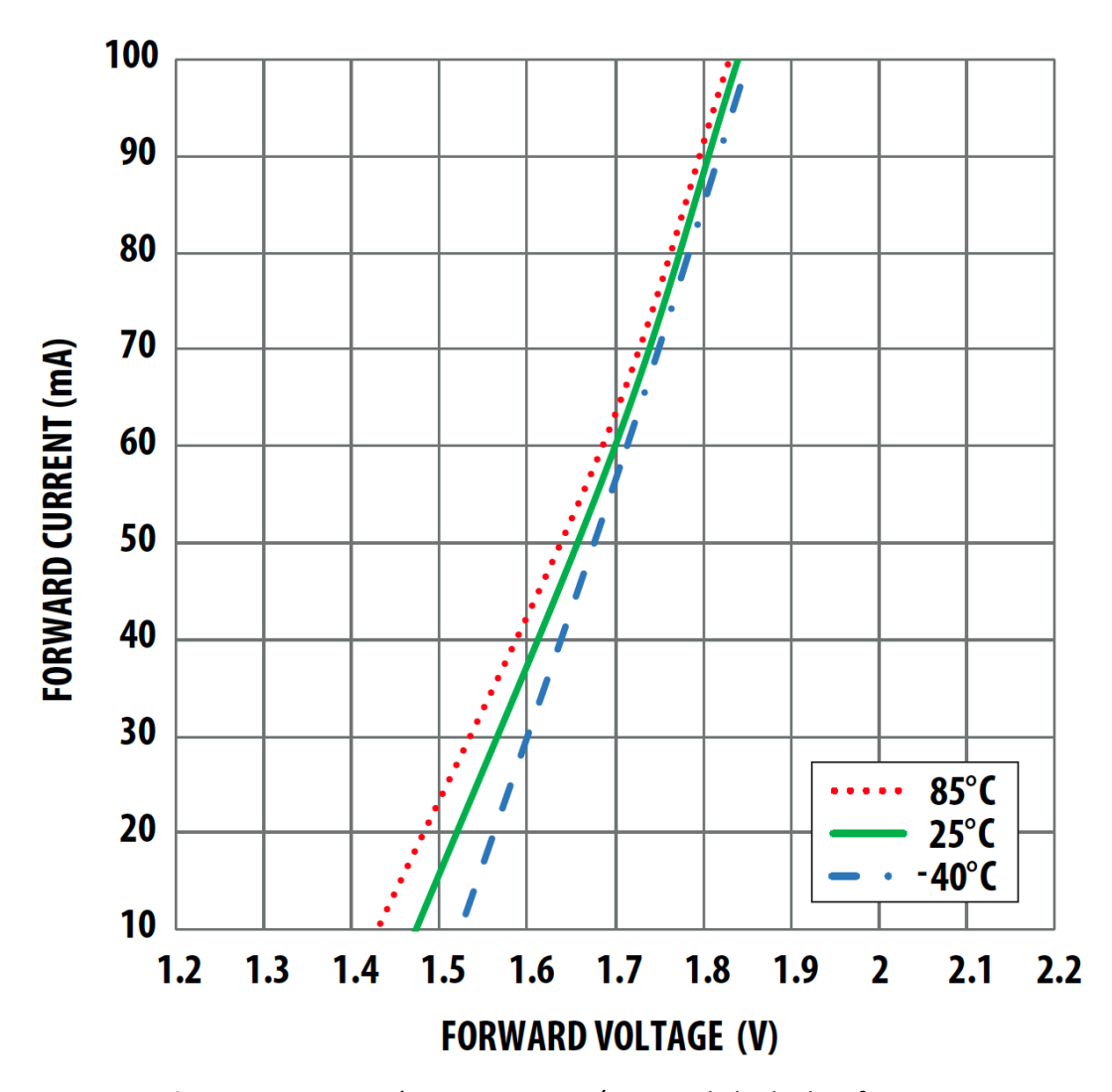


Figure 12.2 : Caractéristique courant/tension de la diode infrarouge

#### Circuit de modulation

- Sans calcul, identifier le type de montage utilisé dans la figure 12.3.
- En exploitant <u>la méthode par superposition</u>, exprimer la tension de sortie  $V_{S\_AOP}$  de l'AOP en fonction de  $R_1$ ,  $R_2$ ,  $R_3$  et  $R_4$  et des tensions d'entrée.
- Simplifier cette expression si R<sub>4</sub> >> R<sub>3</sub>.

- Que devient le gain en tension pour chacune des tensions d'entrée si  $R_1 = R_2$ . Allons-nous satisfaire les conditions de modulation décrites précédemment ?
- Calculer le courant dans la LED pour les valeurs extrêmes de  $V_{\mu c}$  et de  $V_{modul}$ . Justifier de l'état de la diode dans chacun des cas.

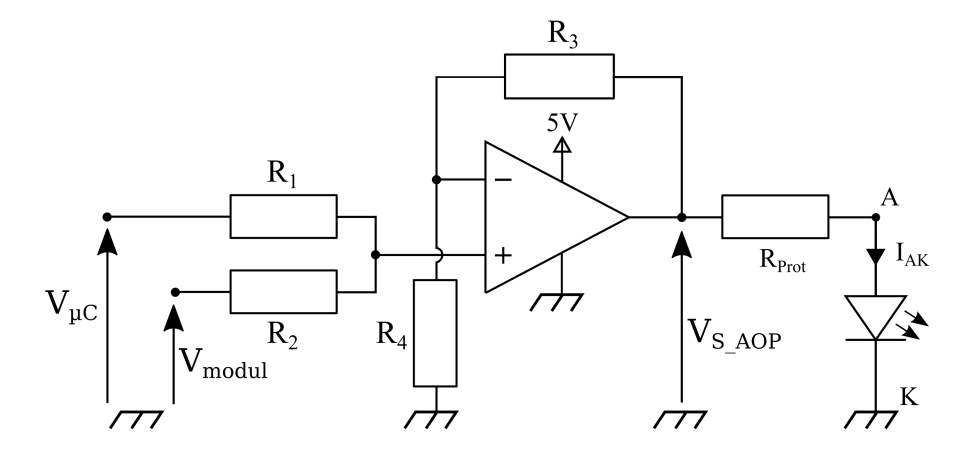
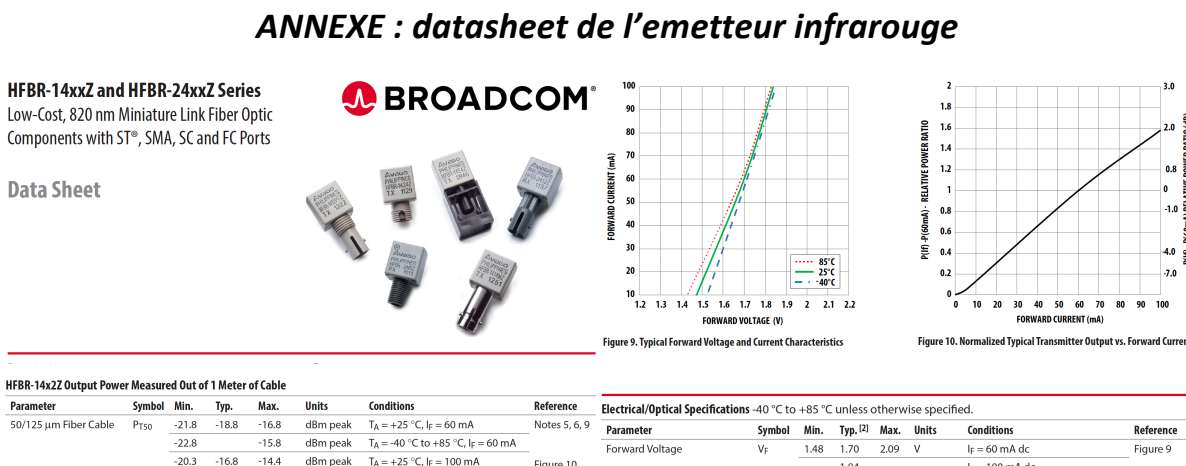


Figure 12.3 : Circuit de modulation de la LED infrarouge



III Dit 14x22 output 1 owe	i measur	cu out o	i i meter	oi cable																		
Parameter	Symbol	Min.	Тур.	Max.	Units	Conditions	Reference	Electrical/Optical Specifications	s -40 °C to	+85 °C	unless	otherw	ise specif	ied.								
50/125 μm Fiber Cable	P <sub>T50</sub>	-21.8	-18.8	-16.8	dBm peak	$T_A = +25$ °C, $I_F = 60$ mA	Notes 5, 6, 9	Parameter	Symbol	Min.	Typ. [2]	Max.	Units	Conditions	Reference							
									-22.8		-15.8	dBm peak	$T_A = -40$ °C to +85 °C, $I_F = 60$ mA		Forward Voltage	VF	1.48	1.70	2.09		I <sub>F</sub> = 60 mA dc Fig	Figure 9
		-20.3	-16.8	-14.4	dBm peak	T <sub>A</sub> = +25 °C, I <sub>F</sub> = 100 mA	Figure 10	Torward Voltage	.,		1.84	2.07	•	I <sub>F</sub> = 100 mA dc	- Inguic s							
	-21.9 -13.8 dBm peak T <sub>A</sub> = -40 °C to +85 °C, I <sub>F</sub> = 100 mA		- •	- IV IV -					1404	I <sub>F</sub> = 60 mA dc	Fi 0											
62.5/125 μm Fiber Cable	P <sub>T62</sub>	-19.0	-16.0			Forward Voltage Temperature Coefficient	$\Delta V_F/\Delta T$		-0.22		mV/K	· · · · · · · · · · · · · · · · · · ·	Figure 9									
		-20.0		-13.0	dBm peak	T <sub>A</sub> = -40 °C to +85 °C, I <sub>F</sub> = 60 mA							-0.18			I <sub>F</sub> = 100 mA dc						
		-17.5	-14.0	-11.6	dBm peak	T <sub>A</sub> = +25 °C, I <sub>F</sub> = 100 mA		Reverse Input Voltage	$V_{BR}$	1.8	3.8		V	I <sub>F</sub> = -100 μA dc								
		-19.1		-11.0	dBm peak	T <sub>A</sub> = -40 °C to +85 °C, I <sub>F</sub> = 100 mA	-			0.3	0.7		V	$I_F = -100 \mu A dc$	Note 10							
100/140 μm Fiber Cable	Prinn	-15.0	-12.0	-10	dBm peak	T <sub>A</sub> = +25 °C, I <sub>F</sub> = 60 mA		Peak Emission Wavelength	lp	792	820	865	nm									
100/140 MITTIDET CUDIC	11100	-16.0	12.0	-9.0	dBm peak	T <sub>A</sub> = -40 °C to +85 °C, I <sub>F</sub> = 60 mA	-	Diode Capacitance	CT		55		pF	V = 0, f = 1 MHz								
		-13.5	-10.0	-7.6	dBm peak	T <sub>A</sub> = +25 °C, I <sub>F</sub> = 100 mA					70		pF	V = 0, f = 1 MHz	Note 10							
			-10.0				-	Optical Power Temperature	$\Delta P_T/\Delta T$		-0.006		dB/K	I = 60 mA dc								
		-15.1		-7.0	dBm peak	T <sub>A</sub> = -40 °C to +85 °C, I <sub>F</sub> = 100 mA	_	Coefficient			-0.010			I = 100 mA dc								
200 μm PCS Fiber Cable	P <sub>T200</sub>	-10.0	-7.0	-5.0	dBm peak	T <sub>A</sub> = +25 °C, I <sub>F</sub> = 60 mA		Thermal Resistance	θιΑ	40	490		K/W		Notes 3, 8							
		-11.0		-4.0	dBm peak	$T_A = -40 ^{\circ}\text{C}$ to $+85 ^{\circ}\text{C}$ , $I_F = 60 \text{mA}$							IV VV		Notes 3, 6							
		-8.5	-5.0	-2.6	dBm peak	T <sub>A</sub> = +25 °C, I <sub>F</sub> = 100 mA		14x2Z Numerical Aperture	NA		0.49											
		-10.1		-2.0	dBm peak	T <sub>A</sub> = -40 °C to +85 °C, I <sub>F</sub> = 100 mA		14x4Z Numerical Aperture	NA		0.31											
								14x2Z Optical Port Diameter	D		290		μm		Note 4							
								14x4Z Optical Port Diameter	D		150		μm		Note 4							

egulatory Compliance - Targete	ed Specifications					Recommended Transn	nitter Driv	er Circuit	ry			
Feature	Performan	ce			Reference	Transmitter	D1	D2	D2			
Electrostatic Discharge (ESD)	Class 1B (>	>500 V, <1000 V)	- Human Body Mod	lel	Note 1, 2		R1	R2	R3	G		
bsolute Maximum Ratings						HFBR-14x2Z/x4Z/x5Z	33 Ω	33 Ω	270 Ω	75 pF		
Parameter	Symbol	Min.	Max.	Units	Reference					TX	/CC = 5.0V	
Storage Temperature	Ts	-55	+85	°C							$\uparrow$	
Operating Temperature	TA	-40	+85	°C							a a	HFBR-14x2Z/x4Z/x5Z
Lead Soldering Cycle											# #	2 AN2
Temp			+260	°C							10 μF 100 nF	6 AN6 V
Time			10	sec				_				3   207
Forward Input Current								+1	\IC1A	٥,,	GND GND	CAI D
Peak	I <sub>FPK</sub>		200	mA	Note 3			2	p <del>, t</del>	-	1	
dc	I <sub>Fdc</sub>		100	mA				L	/		R2	+++
Reverse Input Voltage	VBR		1.8	V				1 4 F	∖ IC1B	R1	$\vdash \neg \vdash$	_
			0.3	V	Note 4	12	ICID	5	)o <sup>6</sup> →	—Ё—	ј Н	GND
ESD (Human-body model)	ESD		2000	V	Note 1, 4	Data 13	p <u>'''</u>	† † † L	/		2	UND
otes: . ESD capability for all pins HBM (H . Valid for not protection improved		n	JESD22-A114.					10	)C1C 08 74ACT[Q1	1001176	GND	





# 13 Polarisation du transistor bipolaire NPN

Les deux montages de la Figure 13.1 utilisent un transistor bipolaire NPN dont on donne les caractéristiques à **25°C**. Les résistances  $R_C$  et  $R_E$  sont égales pour les deux montages, à savoir  $R_C$ =8,2 $k\Omega$  et  $R_E$ =1,8 $k\Omega$ 

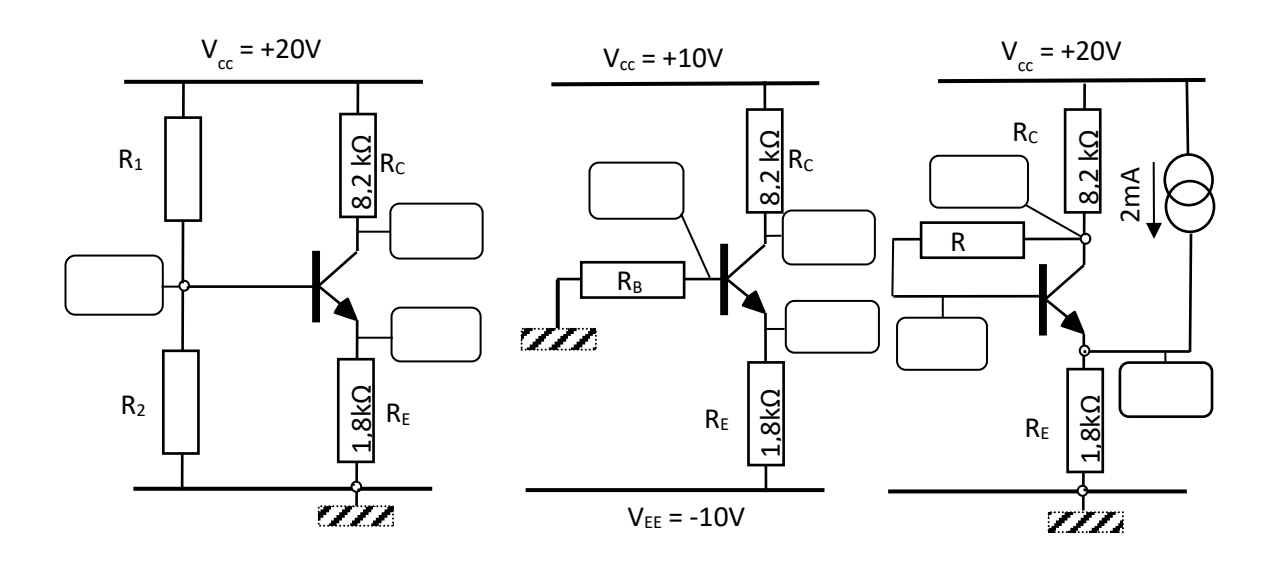
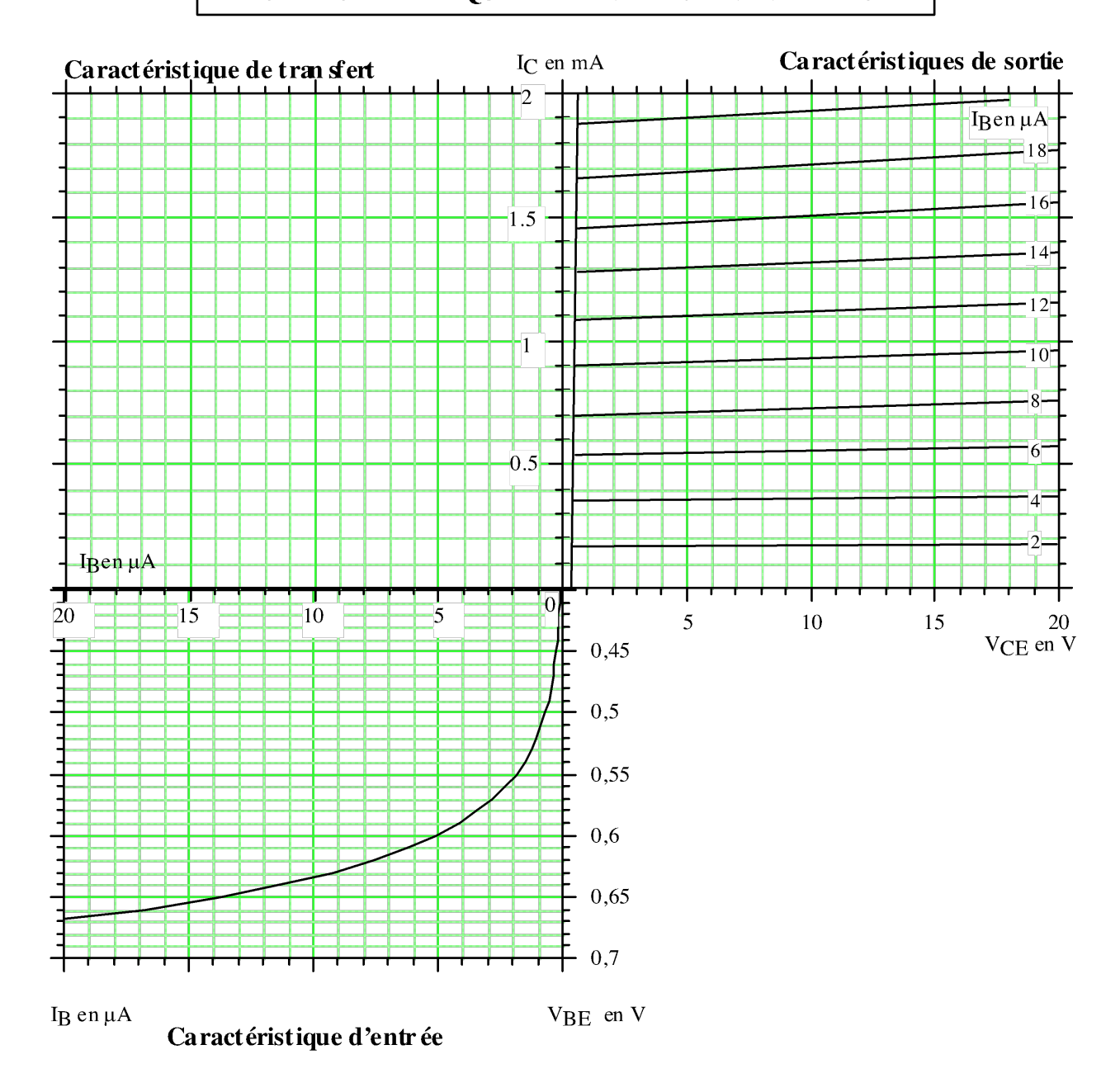


Figure 13.1

Pour chaque montage,  $R_C = 8.2 \text{ k}\Omega$  et  $R_E = 1.8 \text{k}\Omega$ :

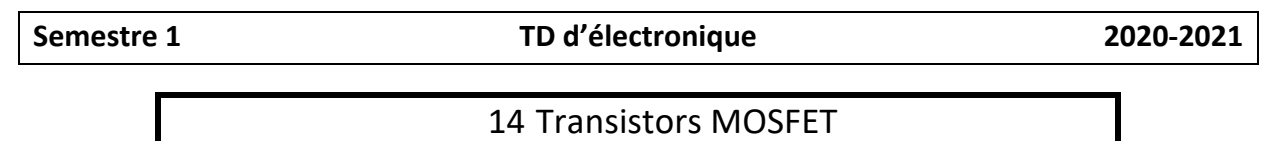
- 1) Écrire l'équation de la droite de charge du transistor :  $I_C = f(V_{CE})$ .
- 2) Tracer la droite de charge.
- 3) On choisit le point de fonctionnement du transistor au milieu de la droite de charge. En déduire la valeur du courant de repos de collecteur  $I_{C repos}$ ,  $I_{B repos}$  et  $V_{BE repos}$
- 4) Calculer la valeur des résistances assurant la polarisation du transistor ainsi que leur valeur normalisée.
- 5) Est-il possible de se passer du réseau de caractéristiques du transistor pour calculer les (ou la) résistances qui assurent la polarisation du transistor ? Commenter.

# CARACTERISTIQUES TRANSISTOR NPN A 25°C









# 14-1 Amplificateur à transistor MOSFET

#### Objectifs:

- Tracer la droite de charge et identifier le point de repos d'un MOSFET en régime continu
- Déterminer tous les éléments du montage permettant la polarisation du transistor
- Lire les caractéristiques électriques d'une datasheet.

#### Méthode à maitriser :

Droite de charge : Extraire l'expression du courant dans le transistor en fonction de la tension Drain-Source et des éléments du circuit :  $I_D = f(V_{DS})$ . Loi des potentiels aux nœuds

# Hypothèses et données :

Nous considérons le schéma présenté Figure 14.1(a) qui utilise un transistor MOSFET 2N7000. La tension d'alimentation continue est  $V_{cc} = 10 \text{ V}$ . La caractéristique de sortie est fournie en figure 14.1(b).

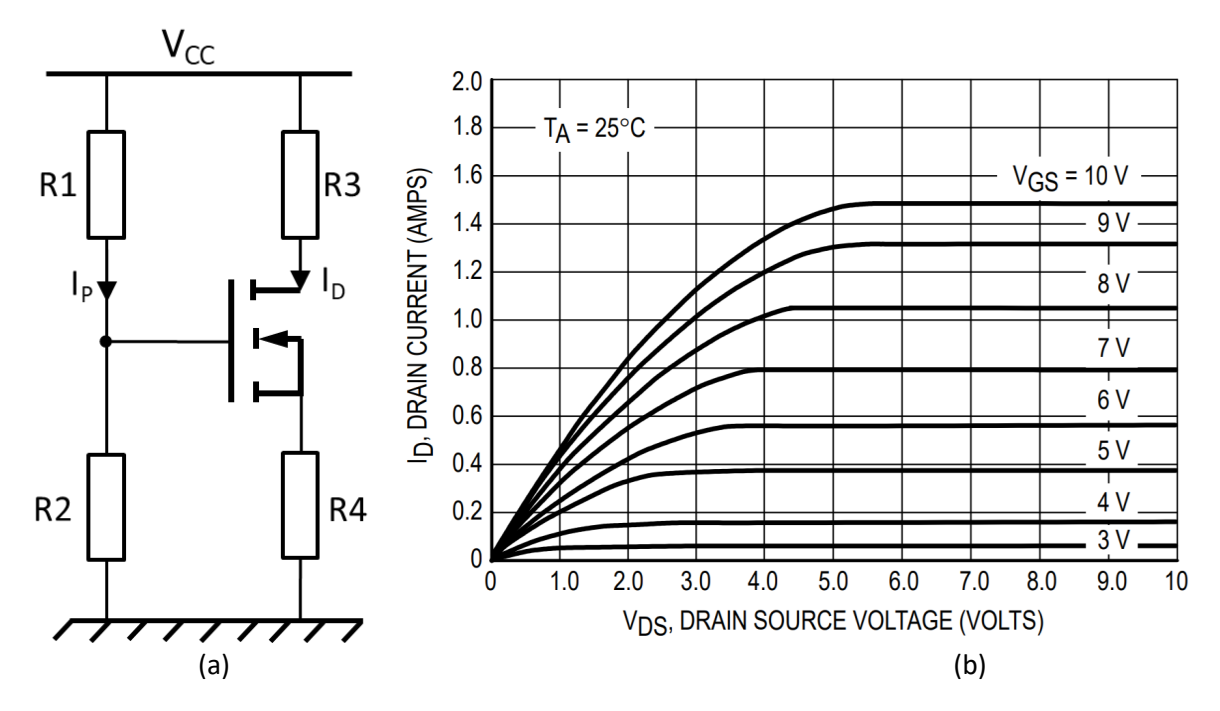


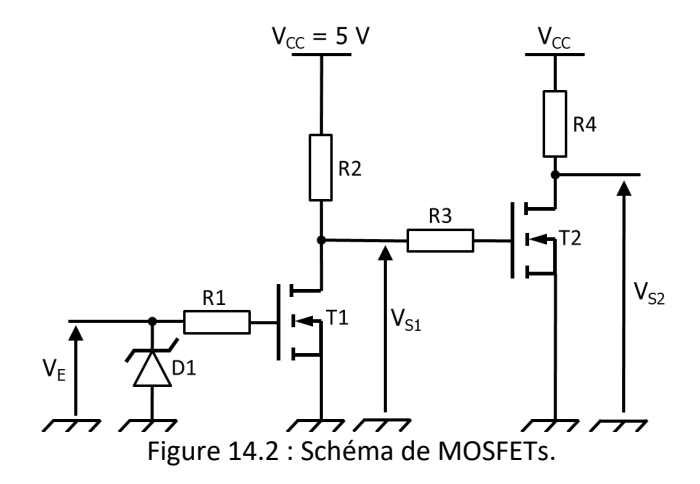
Figure 14.1 : (a) Schéma électrique de l'amplificateur à transistor, (b) caractéristique de sortie du MOSFET 2N7000

1.1) Représenter le point de repos  $I_{D0} = 800 \text{ mA}$  et  $V_{DS0} = 5 \text{ V}$  sur la figure 14.1.(b).

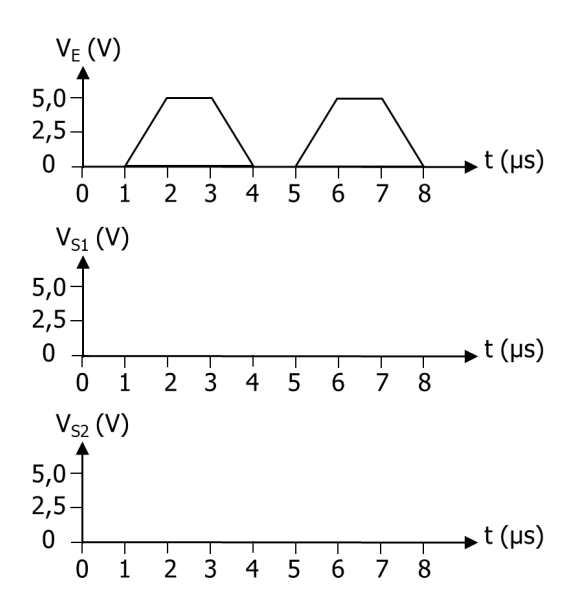
1.2)	Déterminer la valeur de la tension $V_{GSO}$ permettant d'obtenir le point de repos de la question précédente.
1.3)	Représenter la tension $V_{GSO}$ sur la figure 14.1.(a). Dessiner sur la figure 14.1.(a) les courants et tensions connues.
1.4)	Donner l'équation de la droite de charge statique $I_D = f(V_{DS})$ . Tracer la droite de charge dans le réseau de caractéristiques de la figure 14.1.(b) et constater que celle-ci passe par le point de repos.
1.5)	En prenant l'hypothèse que $R_4$ = 1 $\Omega$ , Exprimer $R_3$ puis déterminer sa valeur.
1.6)	Exprimer <b>U</b> <sub>R2</sub> puis déterminer sa valeur.
1.7)	Exprimer $R_2$ puis déterminer sa valeur si $I_P$ = 100 $\mu$ A.
1.8)	Exprimer $R_1$ puis déterminer sa valeur.

# 14-2 Transistor MOSFET en commutation

Considérons le schéma de la figure 14.2 comportant deux transistors T1 et T2 pour lequel  $V_T = 2,5 V$ , une diode Zener de tension  $V_Z = 5 V$ . Nous supposons que le transistor fonctionne en régime linéaire et que son temps de commutation est nul.



- 1.9) Repérer sur le schéma de la figure 14.2 les broches grille (G), drain (D) et source (S) des 2 transistors.
- 1.10) Le transistor est considéré comme parfait. Rappeler le modèle du transistor MOSFET à l'état passant, en régime de commutation (régime linéaire).
- 1.11) Rappeler le rôle de la diode Zener en entrée. Rappeler la condition pour que le transistor soit passant.
- 1.12) Compléter les chronogrammes suivants :







15 (Optionnel) Etude de la stabilité en température d'un miroir de courant à transistors NPN identiques

Le montage de la figure 15.1 est un miroir de courant amélioré qui est très exploité dans les circuits intégrés analogiques. On l'utilise pour réaliser un générateur de courant continu performant peu sensible à la température et possédant une grande résistance interne.

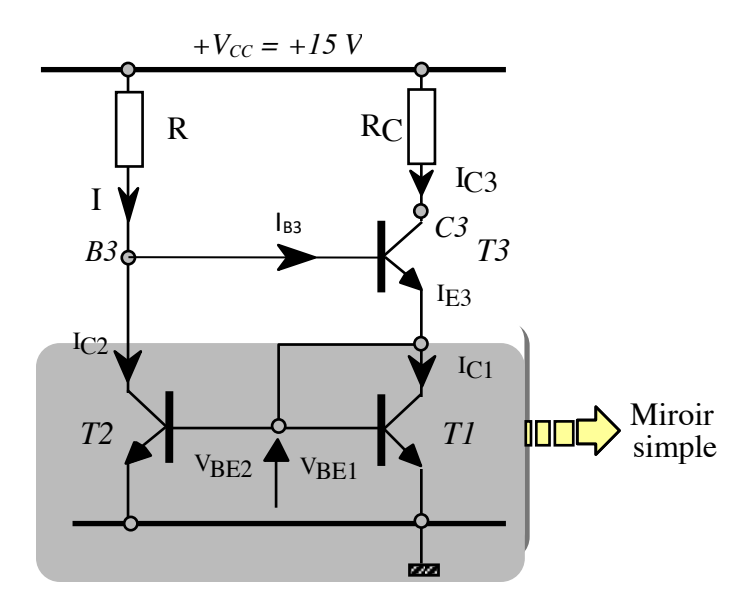


Figure 15.1

Ce montage utilise trois transistors NPN intégrés identiques dont l'évolution du gain en courant  $\beta$  en fonction du courant de collecteur  $I_C$  et de la température T est donnée en fin de texte en figure 15.2.

On se propose d'étudier la polarisation du transistor  $T_3$  à **25 °C**. On rappelle que le courant de collecteur  $I_C$  d'un transistor NPN est tel que :

$$I_C = I_{SBC} \exp(\frac{V_{BE}}{U_T}) \tag{1}$$

Où *I<sub>SBC</sub>* représente le courant inverse de saturation de la jonction collecteur-base bloquée. Ce courant est identique pour l'ensemble des transistors intégrés.

#### 1° PARTIE: ETUDE DU MIROIR DE COURANT SIMPLE $(T_1 T_2)$

Etudions dans un premier temps, le miroir de courant de base constitué seulement des transistors  $T_1$  et  $T_2$  (partie encadrée de la figure 15.1). Ce miroir de courant reçoit un courant de référence  $I_{E3}$  et il recopie  $I_{C2}$ .

- 1) Rechercher avec l'équation (1), la relation simple qui lie les courants de collecteur Ic2 et Ic1.
- 2) En déduire la relation entre les courants  $I_{C2}$  et  $I_{E3}$  compte-tenu du gain en courant  $\beta$  de  $T_1$  et  $T_2$ . Sachant que le courant  $I_{C2}$  recopie  $I_{E3}$ , déterminer l'expression de l'erreur relative de recopie :

$$E_r = \frac{I_{C2} - I_{E3}}{I_{E3}}$$

# 2° PARTIE: MIROIR DE COURANT AMELIORE ( $T_1$ , $T_2$ et $T_3$ )

Considérons maintenant le montage complet où I représente le courant de référence alors que  $I_{C3}$  est maintenant le courant recopié.

- 3) Rechercher en fonction du gain en courant  $\beta$  des transistors, la relation qui relie le courant I et le courant recopié  $I_{C3}$ . Déterminer l'expression de la nouvelle erreur relative de recopie et comparer à celle du miroir simple.
- 4) Nous désirons choisir le point de repos du transistor  $T_3$  au milieu de sa droite de charge avec  $I_{C_3}$  égal à  $1 \, mA$  à  $25^{\circ}C$ . Calculer la valeur des résistances  $R_C$  et R. Faire les applications numériques pour les erreurs de recopie précédemment définies. Conclusion.

#### 3° PARTIE: ETUDE DE LA STABILITE EN TEMPERATURE DU MONTAGE COMPLET

On se propose d'étudier la stabilité du courant de collecteur du transistor  $T_3$  en fonction de la température qui évolue de **25** à **125°C**.

- 5) Déterminer la relation :  $I_{C3} = f(V_{BE}, \beta, V_{CC}, R)$  qui met en évidence le rôle de la température sur la tension  $V_{BE}$  et le gain en courant  $\beta$ .
- 6) Rechercher l'expression du coefficient de stabilité :  $S_V = \left[\frac{\partial I_C}{\partial V_{BE}}\right] \beta \ constant$  Quelle est sa valeur approchée ?
- 7) Rechercher l'expression du coefficient de stabilité :  $S_{\beta} = \left[\frac{\partial I_C}{\partial \beta}\right]_{V_{BE} \ constant}$  Quelle est sa valeur approchée ?
- 8) Le montage est soumis à une température qui évolue de **25** à **125°C**. Calculer la valeur de l'accroissement  $\Delta I_{C3}$  du courant de collecteur  $I_{C3}$  de  $T_3$  sachant que :

$$\Delta I_{C3} = S_{\nu} \cdot \Delta V_{BE} + S_{\beta} \cdot \Delta \beta$$

 $V_{CC} = 15V$ ;  $I_{C3} = 1mA$  à 25°C;  $V_{BE} = 0.6 V$  à 25 °C et  $\Delta V_{BE}/\Delta T = -2.5 \ mV$ °C<sup>1</sup>

Quel est le paramètre principal responsable de l'accroissement du courant I<sub>C3</sub>?

18

# 4° PARTIE: MODIFICATION DE LA TENSION D'ALIMENTATION A 25°C

A la température de **25°C**, avec les résistances R et  $R_c$  précédentes, la tension d'alimentation  $V_{cc}$  est maintenant égale à **30 V**.

- 9) Le point de repos de T<sub>3</sub> est-il toujours sensiblement centré sur la nouvelle droite de charge?
- 10) Que peut-on dire de la variation  $\Delta I_{C3}$  du courant  $I_{C3}$  lorsque la température évolue comme précédemment de 25 à 125°C?

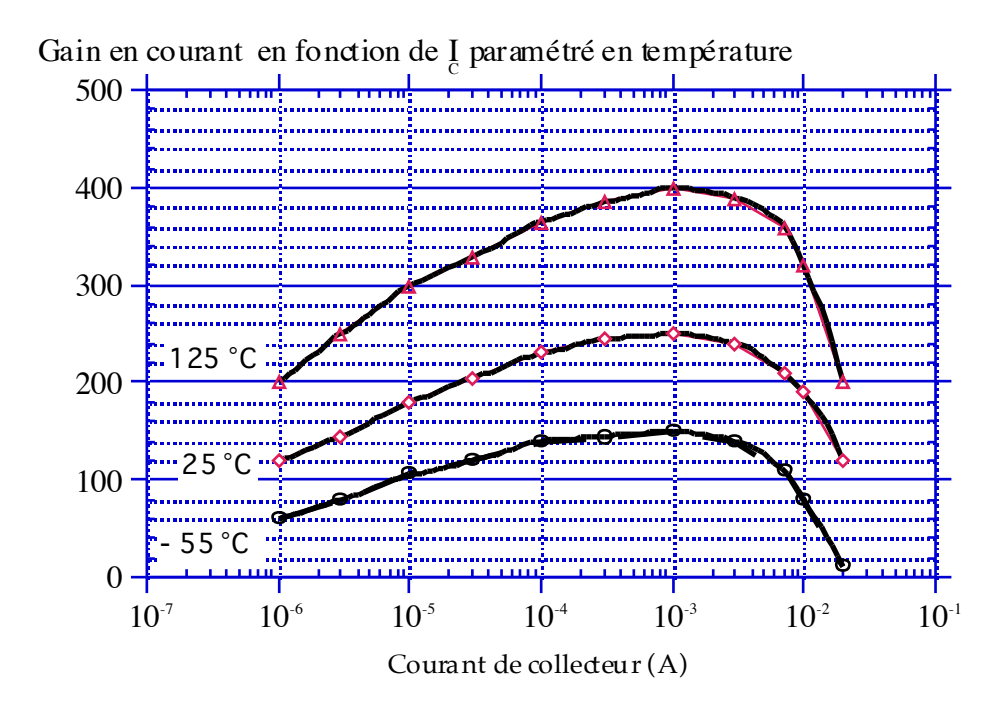


Figure 15.2